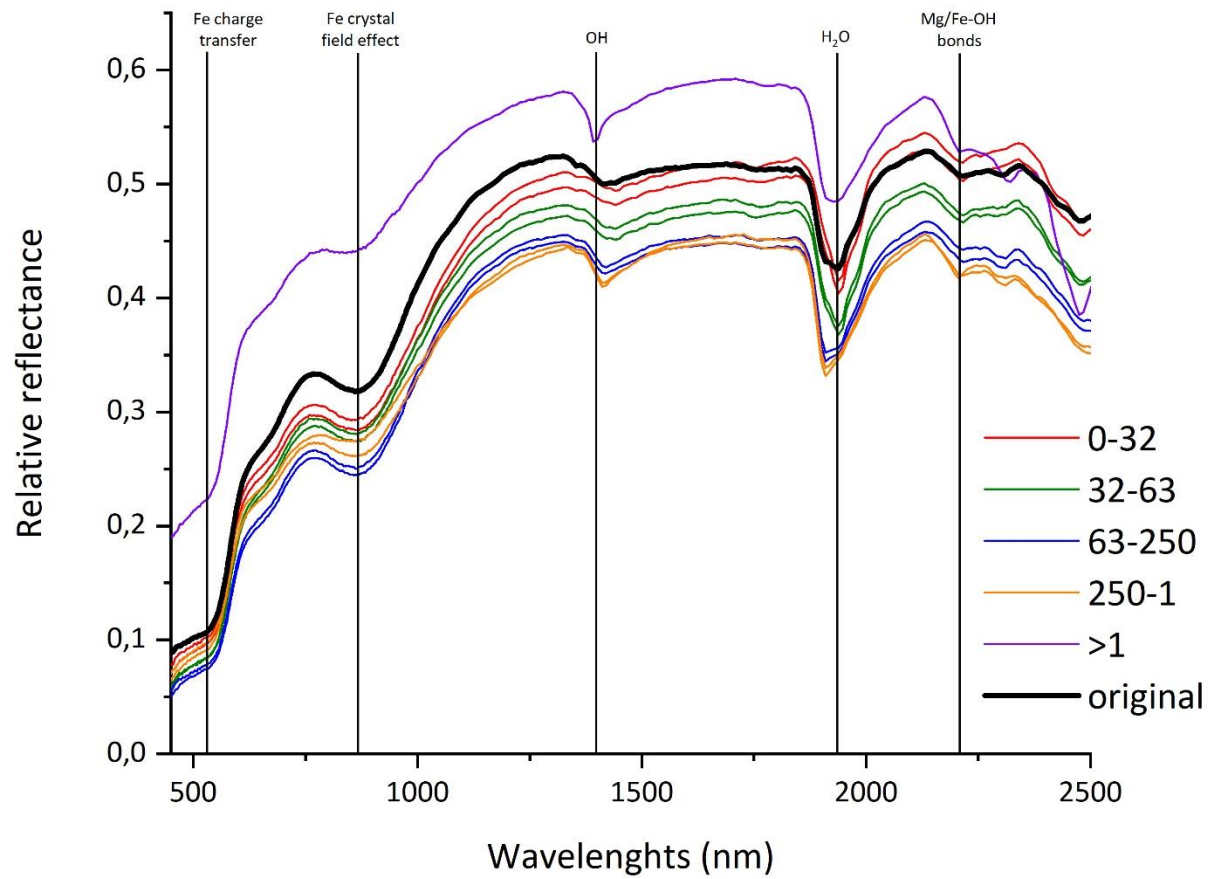


Martian simulant: MMS-2

Plot:



MMS-2 – Hyperspectral cameras

Table:

Wavelengths (nm)	original	Wavelengths (nm)	0-32 μm		32-63 μm		63-250 μm		250-1000 μm		>1000 μm
419,26	0,0803	399,35	0,1566	0,1663	0,1614	0,1478	0,1479	0,1332	0,1625	0,1520	0,2547
421,48	0,0779	401,56	0,1435	0,1359	0,1311	0,1305	0,1234	0,1171	0,1332	0,1344	0,2449
423,69	0,0778	403,77	0,1289	0,1208	0,1158	0,1175	0,1081	0,1066	0,1213	0,1259	0,2297
425,90	0,0778	405,99	0,1126	0,1123	0,1004	0,1003	0,0990	0,0987	0,1134	0,1146	0,2141
428,12	0,0797	408,20	0,1030	0,1064	0,0820	0,0878	0,0885	0,0916	0,0993	0,1040	0,2076
430,33	0,0813	410,41	0,0982	0,0977	0,0739	0,0812	0,0774	0,0828	0,0858	0,0928	0,2054
432,54	0,0803	412,62	0,0869	0,0850	0,0695	0,0717	0,0680	0,0736	0,0730	0,0791	0,2001
434,76	0,0801	414,84	0,0770	0,0751	0,0606	0,0599	0,0606	0,0624	0,0657	0,0664	0,1904
436,97	0,0821	417,05	0,0727	0,0701	0,0526	0,0529	0,0551	0,0541	0,0652	0,0600	0,1865
439,18	0,0837	419,26	0,0692	0,0660	0,0490	0,0526	0,0513	0,0507	0,0641	0,0591	0,1880
441,40	0,0850	421,48	0,0682	0,0641	0,0495	0,0533	0,0496	0,0466	0,0635	0,0585	0,1853
443,61	0,0860	423,69	0,0676	0,0638	0,0496	0,0510	0,0491	0,0430	0,0622	0,0562	0,1800
445,82	0,0871	425,90	0,0663	0,0605	0,0493	0,0480	0,0501	0,0410	0,0590	0,0529	0,1765
448,04	0,0886	428,12	0,0662	0,0582	0,0505	0,0488	0,0510	0,0433	0,0582	0,0539	0,1770
450,25	0,0892	430,33	0,0669	0,0587	0,0510	0,0498	0,0493	0,0464	0,0591	0,0563	0,1784
452,46	0,0891	432,54	0,0672	0,0601	0,0498	0,0483	0,0470	0,0454	0,0582	0,0553	0,1801
454,67	0,0895	434,76	0,0684	0,0615	0,0482	0,0479	0,0456	0,0433	0,0562	0,0537	0,1820
456,89	0,0907	436,97	0,0709	0,0632	0,0500	0,0503	0,0470	0,0432	0,0573	0,0540	0,1821
459,10	0,0921	439,18	0,0701	0,0648	0,0538	0,0527	0,0501	0,0449	0,0601	0,0558	0,1820
461,31	0,0935	441,40	0,0704	0,0665	0,0568	0,0549	0,0538	0,0472	0,0642	0,0587	0,1824
463,53	0,0944	443,61	0,0743	0,0672	0,0582	0,0567	0,0564	0,0489	0,0688	0,0613	0,1839
465,74	0,0948	445,82	0,0766	0,0680	0,0591	0,0575	0,0564	0,0494	0,0701	0,0632	0,1875
467,95	0,0948	448,04	0,0779	0,0701	0,0599	0,0574	0,0558	0,0489	0,0697	0,0631	0,1899
470,17	0,0948	450,25	0,0789	0,0720	0,0600	0,0584	0,0556	0,0500	0,0706	0,0636	0,1905

MMS-2 – Hyperspectral cameras

472,38	0,0951	452,46	0,0787	0,0731	0,0608	0,0598	0,0564	0,0517	0,0725	0,0664	0,1910
474,59	0,0957	454,67	0,0785	0,0737	0,0623	0,0605	0,0581	0,0526	0,0737	0,0673	0,1911
476,81	0,0966	456,89	0,0802	0,0742	0,0638	0,0614	0,0595	0,0538	0,0744	0,0674	0,1919
479,02	0,0972	459,10	0,0831	0,0750	0,0652	0,0631	0,0612	0,0557	0,0753	0,0695	0,1935
481,23	0,0973	461,31	0,0849	0,0763	0,0666	0,0644	0,0625	0,0568	0,0766	0,0720	0,1945
483,45	0,0977	463,53	0,0856	0,0777	0,0679	0,0657	0,0632	0,0569	0,0779	0,0731	0,1952
485,66	0,0985	465,74	0,0867	0,0792	0,0698	0,0674	0,0645	0,0580	0,0793	0,0730	0,1967
487,87	0,0990	467,95	0,0880	0,0807	0,0712	0,0686	0,0655	0,0595	0,0805	0,0730	0,1991
490,09	0,0991	470,17	0,0884	0,0820	0,0706	0,0695	0,0654	0,0606	0,0811	0,0744	0,2012
492,30	0,0993	472,38	0,0886	0,0821	0,0700	0,0698	0,0654	0,0614	0,0814	0,0759	0,2017
494,51	0,1004	474,59	0,0894	0,0821	0,0710	0,0697	0,0665	0,0619	0,0824	0,0764	0,2013
496,73	0,1013	476,81	0,0896	0,0831	0,0720	0,0712	0,0673	0,0627	0,0839	0,0775	0,2022
498,94	0,1014	479,02	0,0893	0,0841	0,0723	0,0733	0,0669	0,0634	0,0847	0,0789	0,2037
501,15	0,1019	481,23	0,0900	0,0847	0,0724	0,0741	0,0670	0,0642	0,0846	0,0790	0,2047
503,36	0,1022	483,45	0,0915	0,0853	0,0729	0,0740	0,0684	0,0649	0,0850	0,0790	0,2056
505,58	0,1024	485,66	0,0925	0,0862	0,0737	0,0741	0,0690	0,0652	0,0858	0,0806	0,2064
507,79	0,1027	487,87	0,0925	0,0872	0,0744	0,0751	0,0686	0,0660	0,0863	0,0822	0,2072
510,00	0,1034	490,09	0,0927	0,0874	0,0757	0,0758	0,0692	0,0667	0,0873	0,0821	0,2083
512,22	0,1037	492,30	0,0933	0,0876	0,0765	0,0759	0,0705	0,0671	0,0883	0,0817	0,2092
514,43	0,1038	494,51	0,0940	0,0886	0,0766	0,0765	0,0715	0,0678	0,0888	0,0827	0,2103
516,64	0,1040	496,73	0,0942	0,0889	0,0767	0,0772	0,0715	0,0679	0,0893	0,0840	0,2115
518,86	0,1046	498,94	0,0945	0,0889	0,0769	0,0775	0,0712	0,0678	0,0896	0,0845	0,2124
521,07	0,1050	501,15	0,0959	0,0897	0,0781	0,0781	0,0723	0,0682	0,0906	0,0848	0,2133
523,28	0,1054	503,36	0,0969	0,0903	0,0786	0,0785	0,0732	0,0685	0,0914	0,0850	0,2138
525,50	0,1057	505,58	0,0962	0,0906	0,0778	0,0791	0,0727	0,0692	0,0915	0,0857	0,2148
527,71	0,1060	507,79	0,0962	0,0914	0,0780	0,0801	0,0727	0,0701	0,0918	0,0866	0,2158
529,92	0,1067	510,00	0,0979	0,0924	0,0798	0,0811	0,0743	0,0707	0,0934	0,0878	0,2167
532,14	0,1075	512,22	0,0981	0,0926	0,0804	0,0815	0,0750	0,0708	0,0940	0,0882	0,2170

MMS-2 – Hyperspectral cameras

534,35	0,1083	514,43	0,0972	0,0925	0,0799	0,0813	0,0745	0,0710	0,0934	0,0876	0,2171
536,56	0,1093	516,64	0,0981	0,0932	0,0803	0,0816	0,0751	0,0717	0,0938	0,0882	0,2185
538,78	0,1106	518,86	0,0997	0,0938	0,0811	0,0821	0,0761	0,0724	0,0948	0,0891	0,2197
540,99	0,1119	521,07	0,1007	0,0941	0,0819	0,0825	0,0766	0,0728	0,0956	0,0894	0,2204
543,20	0,1133	523,28	0,1012	0,0950	0,0829	0,0833	0,0773	0,0737	0,0963	0,0896	0,2214
545,42	0,1150	525,50	0,1015	0,0961	0,0833	0,0838	0,0777	0,0743	0,0970	0,0903	0,2221
547,63	0,1169	527,71	0,1016	0,0964	0,0830	0,0838	0,0779	0,0742	0,0974	0,0909	0,2225
549,84	0,1189	529,92	0,1017	0,0965	0,0836	0,0844	0,0784	0,0742	0,0978	0,0912	0,2229
552,05	0,1209	532,14	0,1025	0,0971	0,0849	0,0854	0,0792	0,0747	0,0987	0,0917	0,2238
554,27	0,1231	534,35	0,1033	0,0978	0,0856	0,0857	0,0795	0,0750	0,0995	0,0920	0,2249
556,48	0,1258	536,56	0,1037	0,0985	0,0857	0,0863	0,0794	0,0757	0,0999	0,0927	0,2261
558,69	0,1291	538,78	0,1046	0,0998	0,0865	0,0879	0,0807	0,0772	0,1012	0,0945	0,2281
560,91	0,1327	540,99	0,1054	0,1010	0,0875	0,0889	0,0822	0,0782	0,1027	0,0962	0,2301
563,12	0,1367	543,20	0,1066	0,1023	0,0887	0,0900	0,0830	0,0792	0,1041	0,0975	0,2318
565,33	0,1407	545,42	0,1085	0,1037	0,0905	0,0913	0,0840	0,0804	0,1056	0,0987	0,2337
567,55	0,1449	547,63	0,1106	0,1049	0,0923	0,0926	0,0855	0,0816	0,1075	0,1000	0,2357
569,76	0,1494	549,84	0,1123	0,1066	0,0938	0,0945	0,0870	0,0831	0,1097	0,1021	0,2380
571,97	0,1543	552,05	0,1140	0,1083	0,0955	0,0966	0,0886	0,0848	0,1116	0,1043	0,2409
574,19	0,1595	554,27	0,1159	0,1103	0,0973	0,0987	0,0901	0,0866	0,1137	0,1066	0,2440
576,40	0,1648	556,48	0,1184	0,1132	0,0995	0,1013	0,0919	0,0886	0,1164	0,1092	0,2475
578,61	0,1702	558,69	0,1219	0,1163	0,1025	0,1043	0,0944	0,0909	0,1196	0,1118	0,2518
580,83	0,1760	560,91	0,1259	0,1199	0,1061	0,1079	0,0979	0,0941	0,1236	0,1151	0,2567
583,04	0,1820	563,12	0,1297	0,1237	0,1097	0,1117	0,1015	0,0975	0,1277	0,1190	0,2617
585,25	0,1878	565,33	0,1337	0,1274	0,1132	0,1154	0,1048	0,1007	0,1316	0,1229	0,2670
587,47	0,1935	567,55	0,1377	0,1320	0,1168	0,1197	0,1082	0,1045	0,1354	0,1272	0,2724
589,68	0,1991	569,76	0,1421	0,1365	0,1209	0,1241	0,1120	0,1083	0,1395	0,1313	0,2775
591,89	0,2046	571,97	0,1470	0,1406	0,1256	0,1281	0,1160	0,1115	0,1443	0,1350	0,2826
594,10	0,2098	574,19	0,1524	0,1453	0,1307	0,1324	0,1202	0,1149	0,1493	0,1392	0,2884

MMS-2 – Hyperspectral cameras

596,32	0,2148	576,40	0,1581	0,1507	0,1358	0,1374	0,1246	0,1194	0,1542	0,1442	0,2947
598,53	0,2193	578,61	0,1636	0,1564	0,1410	0,1428	0,1291	0,1243	0,1592	0,1490	0,3008
600,74	0,2235	580,83	0,1690	0,1618	0,1462	0,1482	0,1338	0,1289	0,1642	0,1537	0,3070
602,96	0,2275	583,04	0,1745	0,1671	0,1515	0,1536	0,1389	0,1335	0,1697	0,1587	0,3134
605,17	0,2313	585,25	0,1800	0,1726	0,1567	0,1591	0,1436	0,1382	0,1747	0,1638	0,3192
607,38	0,2349	587,47	0,1854	0,1783	0,1622	0,1646	0,1482	0,1428	0,1792	0,1686	0,3246
609,60	0,2380	589,68	0,1910	0,1837	0,1673	0,1702	0,1531	0,1475	0,1838	0,1734	0,3304
611,81	0,2407	591,89	0,1963	0,1888	0,1716	0,1753	0,1577	0,1519	0,1882	0,1780	0,3357
614,02	0,2432	594,10	0,2012	0,1933	0,1761	0,1799	0,1617	0,1559	0,1921	0,1820	0,3401
616,24	0,2454	596,32	0,2057	0,1978	0,1806	0,1843	0,1658	0,1598	0,1959	0,1858	0,3446
618,45	0,2474	598,53	0,2099	0,2020	0,1847	0,1882	0,1697	0,1636	0,1996	0,1893	0,3485
620,66	0,2492	600,74	0,2136	0,2053	0,1885	0,1922	0,1729	0,1668	0,2025	0,1922	0,3517
622,88	0,2509	602,96	0,2172	0,2087	0,1920	0,1962	0,1759	0,1700	0,2051	0,1953	0,3554
625,09	0,2525	605,17	0,2207	0,2122	0,1954	0,1997	0,1787	0,1732	0,2081	0,1983	0,3592
627,30	0,2542	607,38	0,2239	0,2154	0,1985	0,2025	0,1814	0,1760	0,2108	0,2007	0,3616
629,52	0,2558	609,60	0,2267	0,2182	0,2010	0,2051	0,1840	0,1784	0,2132	0,2027	0,3636
631,73	0,2574	611,81	0,2288	0,2207	0,2034	0,2078	0,1865	0,1805	0,2154	0,2046	0,3656
633,94	0,2587	614,02	0,2310	0,2228	0,2058	0,2102	0,1886	0,1824	0,2171	0,2064	0,3674
636,16	0,2598	616,24	0,2330	0,2245	0,2077	0,2123	0,1903	0,1845	0,2185	0,2083	0,3696
638,37	0,2609	618,45	0,2348	0,2262	0,2093	0,2143	0,1918	0,1863	0,2197	0,2099	0,3715
640,58	0,2620	620,66	0,2367	0,2278	0,2111	0,2158	0,1933	0,1876	0,2210	0,2112	0,3728
642,79	0,2632	622,88	0,2383	0,2296	0,2125	0,2175	0,1949	0,1890	0,2221	0,2122	0,3735
645,01	0,2643	625,09	0,2395	0,2307	0,2137	0,2188	0,1961	0,1900	0,2229	0,2132	0,3742
647,22	0,2653	627,30	0,2406	0,2317	0,2151	0,2198	0,1973	0,1909	0,2237	0,2143	0,3754
649,43	0,2662	629,52	0,2415	0,2331	0,2166	0,2212	0,1984	0,1923	0,2246	0,2156	0,3771
651,65	0,2672	631,73	0,2429	0,2345	0,2181	0,2226	0,1994	0,1937	0,2256	0,2165	0,3788
653,86	0,2683	633,94	0,2444	0,2357	0,2193	0,2239	0,2003	0,1950	0,2267	0,2173	0,3799
656,07	0,2696	636,16	0,2454	0,2369	0,2203	0,2252	0,2015	0,1960	0,2277	0,2184	0,3808

MMS-2 – Hyperspectral cameras

658,29	0,2708	638,37	0,2461	0,2380	0,2215	0,2266	0,2027	0,1970	0,2286	0,2192	0,3816
660,50	0,2723	640,58	0,2470	0,2387	0,2227	0,2277	0,2037	0,1979	0,2294	0,2200	0,3823
662,71	0,2736	642,79	0,2482	0,2393	0,2239	0,2286	0,2050	0,1985	0,2301	0,2209	0,3832
664,93	0,2746	645,01	0,2491	0,2402	0,2248	0,2296	0,2060	0,1993	0,2310	0,2216	0,3841
667,14	0,2758	647,22	0,2498	0,2413	0,2255	0,2307	0,2065	0,2000	0,2318	0,2222	0,3849
669,35	0,2770	649,43	0,2504	0,2419	0,2262	0,2317	0,2070	0,2009	0,2321	0,2225	0,3859
671,57	0,2783	651,65	0,2512	0,2425	0,2273	0,2328	0,2081	0,2019	0,2322	0,2232	0,3869
673,78	0,2797	653,86	0,2523	0,2436	0,2285	0,2338	0,2095	0,2028	0,2329	0,2244	0,3879
675,99	0,2812	656,07	0,2535	0,2446	0,2297	0,2348	0,2106	0,2037	0,2340	0,2254	0,3889
678,21	0,2827	658,29	0,2543	0,2454	0,2309	0,2354	0,2116	0,2050	0,2349	0,2260	0,3900
680,42	0,2842	660,50	0,2551	0,2464	0,2318	0,2364	0,2125	0,2066	0,2357	0,2267	0,3907
682,63	0,2858	662,71	0,2561	0,2477	0,2329	0,2379	0,2136	0,2077	0,2366	0,2280	0,3916
684,85	0,2873	664,93	0,2573	0,2490	0,2342	0,2394	0,2147	0,2084	0,2375	0,2292	0,3929
687,06	0,2888	667,14	0,2585	0,2503	0,2355	0,2408	0,2155	0,2091	0,2383	0,2300	0,3937
689,27	0,2906	669,35	0,2598	0,2513	0,2367	0,2419	0,2164	0,2101	0,2391	0,2307	0,3943
691,48	0,2928	671,57	0,2611	0,2523	0,2378	0,2428	0,2173	0,2115	0,2399	0,2314	0,3950
693,70	0,2947	673,78	0,2621	0,2534	0,2388	0,2441	0,2183	0,2132	0,2408	0,2324	0,3958
695,91	0,2965	675,99	0,2631	0,2543	0,2402	0,2454	0,2197	0,2144	0,2417	0,2335	0,3969
698,12	0,2984	678,21	0,2641	0,2555	0,2416	0,2468	0,2215	0,2153	0,2427	0,2346	0,3980
700,34	0,3003	680,42	0,2652	0,2568	0,2429	0,2485	0,2231	0,2164	0,2438	0,2359	0,3992
702,55	0,3023	682,63	0,2665	0,2577	0,2442	0,2498	0,2243	0,2177	0,2445	0,2373	0,4005
704,76	0,3042	684,85	0,2677	0,2591	0,2454	0,2512	0,2253	0,2192	0,2451	0,2387	0,4019
706,98	0,3060	687,06	0,2687	0,2607	0,2466	0,2529	0,2265	0,2206	0,2458	0,2399	0,4036
709,19	0,3077	689,27	0,2702	0,2620	0,2482	0,2545	0,2280	0,2220	0,2472	0,2411	0,4052
711,40	0,3092	691,48	0,2722	0,2637	0,2501	0,2561	0,2301	0,2238	0,2489	0,2426	0,4063
713,62	0,3109	693,70	0,2737	0,2657	0,2519	0,2579	0,2317	0,2258	0,2506	0,2443	0,4076
715,83	0,3125	695,91	0,2755	0,2673	0,2542	0,2598	0,2332	0,2273	0,2521	0,2454	0,4090
718,04	0,3140	698,12	0,2777	0,2687	0,2563	0,2616	0,2353	0,2289	0,2534	0,2467	0,4104

MMS-2 – Hyperspectral cameras

720,26	0,3154	700,34	0,2796	0,2702	0,2579	0,2637	0,2372	0,2309	0,2549	0,2484	0,4123
722,47	0,3168	702,55	0,2814	0,2717	0,2596	0,2653	0,2391	0,2328	0,2565	0,2499	0,4144
724,68	0,3182	704,76	0,2831	0,2735	0,2615	0,2669	0,2409	0,2344	0,2579	0,2512	0,4158
726,90	0,3196	706,98	0,2844	0,2753	0,2632	0,2687	0,2421	0,2359	0,2589	0,2525	0,4169
729,11	0,3209	709,19	0,2857	0,2767	0,2646	0,2703	0,2432	0,2375	0,2600	0,2537	0,4184
731,32	0,3222	711,40	0,2870	0,2780	0,2662	0,2716	0,2447	0,2389	0,2614	0,2546	0,4197
733,53	0,3235	713,62	0,2884	0,2795	0,2677	0,2730	0,2464	0,2400	0,2628	0,2555	0,4209
735,75	0,3247	715,83	0,2899	0,2807	0,2692	0,2747	0,2478	0,2415	0,2637	0,2571	0,4219
737,96	0,3259	718,04	0,2911	0,2819	0,2708	0,2763	0,2490	0,2429	0,2645	0,2585	0,4227
740,17	0,3269	720,26	0,2925	0,2831	0,2720	0,2778	0,2503	0,2440	0,2655	0,2595	0,4237
742,39	0,3278	722,47	0,2940	0,2841	0,2730	0,2792	0,2518	0,2454	0,2664	0,2603	0,4248
744,60	0,3287	724,68	0,2950	0,2852	0,2740	0,2806	0,2531	0,2469	0,2671	0,2611	0,4261
746,81	0,3297	726,90	0,2958	0,2865	0,2750	0,2820	0,2543	0,2482	0,2679	0,2623	0,4274
749,03	0,3303	729,11	0,2966	0,2876	0,2762	0,2831	0,2555	0,2495	0,2687	0,2639	0,4284
751,24	0,3308	731,32	0,2975	0,2885	0,2773	0,2839	0,2567	0,2506	0,2695	0,2648	0,4293
753,45	0,3314	733,53	0,2988	0,2896	0,2781	0,2849	0,2578	0,2514	0,2706	0,2657	0,4301
755,67	0,3319	735,75	0,3000	0,2906	0,2793	0,2863	0,2587	0,2524	0,2716	0,2668	0,4306
757,88	0,3322	737,96	0,3007	0,2913	0,2803	0,2877	0,2594	0,2534	0,2722	0,2676	0,4313
760,09	0,3324	740,17	0,3014	0,2919	0,2811	0,2886	0,2602	0,2541	0,2727	0,2679	0,4322
762,31	0,3326	742,39	0,3022	0,2927	0,2820	0,2891	0,2612	0,2548	0,2736	0,2683	0,4330
764,52	0,3330	744,60	0,3030	0,2935	0,2828	0,2893	0,2622	0,2555	0,2744	0,2690	0,4330
766,73	0,3332	746,81	0,3036	0,2938	0,2835	0,2898	0,2628	0,2560	0,2749	0,2695	0,4333
768,95	0,3333	749,03	0,3038	0,2946	0,2840	0,2905	0,2631	0,2568	0,2750	0,2700	0,4344
771,16	0,3331	751,24	0,3040	0,2953	0,2845	0,2910	0,2636	0,2576	0,2754	0,2706	0,4356
773,37	0,3330	753,45	0,3044	0,2954	0,2851	0,2919	0,2643	0,2580	0,2760	0,2713	0,4363
775,59	0,3331	755,67	0,3049	0,2959	0,2855	0,2933	0,2648	0,2586	0,2763	0,2717	0,4372
777,80	0,3330	757,88	0,3053	0,2969	0,2859	0,2939	0,2652	0,2590	0,2769	0,2722	0,4385
780,01	0,3329	760,09	0,3056	0,2972	0,2862	0,2939	0,2653	0,2592	0,2773	0,2723	0,4395

MMS-2 – Hyperspectral cameras

782,22	0,3328	762,31	0,3056	0,2969	0,2868	0,2940	0,2655	0,2594	0,2777	0,2721	0,4396
784,44	0,3325	764,52	0,3059	0,2967	0,2873	0,2939	0,2660	0,2595	0,2784	0,2724	0,4394
786,65	0,3321	766,73	0,3060	0,2969	0,2875	0,2937	0,2661	0,2593	0,2788	0,2728	0,4395
788,86	0,3319	768,95	0,3062	0,2970	0,2878	0,2936	0,2660	0,2593	0,2790	0,2731	0,4396
791,08	0,3315	771,16	0,3062	0,2968	0,2878	0,2938	0,2663	0,2594	0,2789	0,2729	0,4397
793,29	0,3311	773,37	0,3060	0,2966	0,2878	0,2941	0,2663	0,2594	0,2788	0,2723	0,4400
795,50	0,3306	775,59	0,3061	0,2967	0,2874	0,2941	0,2659	0,2594	0,2793	0,2725	0,4403
797,72	0,3301	777,80	0,3060	0,2968	0,2869	0,2937	0,2654	0,2595	0,2796	0,2730	0,4403
799,93	0,3297	780,01	0,3056	0,2967	0,2868	0,2935	0,2651	0,2594	0,2796	0,2726	0,4404
802,14	0,3292	782,22	0,3054	0,2966	0,2871	0,2934	0,2648	0,2588	0,2796	0,2720	0,4412
804,36	0,3285	784,44	0,3052	0,2965	0,2872	0,2934	0,2645	0,2587	0,2798	0,2721	0,4419
806,57	0,3278	786,65	0,3052	0,2963	0,2868	0,2934	0,2642	0,2588	0,2797	0,2723	0,4422
808,78	0,3272	788,86	0,3051	0,2960	0,2863	0,2933	0,2640	0,2584	0,2793	0,2723	0,4421
811,00	0,3267	791,08	0,3047	0,2956	0,2859	0,2929	0,2636	0,2578	0,2792	0,2722	0,4419
813,21	0,3263	793,29	0,3045	0,2952	0,2854	0,2923	0,2633	0,2573	0,2795	0,2718	0,4419
815,42	0,3256	795,50	0,3043	0,2947	0,2849	0,2922	0,2631	0,2569	0,2795	0,2711	0,4422
817,64	0,3248	797,72	0,3036	0,2942	0,2845	0,2921	0,2628	0,2566	0,2790	0,2706	0,4425
819,85	0,3243	799,93	0,3028	0,2935	0,2838	0,2912	0,2621	0,2562	0,2784	0,2702	0,4424
822,06	0,3238	802,14	0,3020	0,2933	0,2834	0,2904	0,2610	0,2555	0,2782	0,2696	0,4416
824,28	0,3232	804,36	0,3014	0,2930	0,2829	0,2898	0,2599	0,2546	0,2780	0,2688	0,4408
826,49	0,3226	806,57	0,3010	0,2921	0,2823	0,2892	0,2591	0,2534	0,2773	0,2682	0,4407
828,70	0,3221	808,78	0,3008	0,2915	0,2821	0,2886	0,2588	0,2528	0,2768	0,2681	0,4411
830,91	0,3218	811,00	0,3005	0,2910	0,2817	0,2880	0,2586	0,2530	0,2768	0,2681	0,4408
833,13	0,3215	813,21	0,2999	0,2901	0,2810	0,2873	0,2579	0,2524	0,2767	0,2674	0,4402
835,34	0,3210	815,42	0,2994	0,2895	0,2805	0,2868	0,2572	0,2512	0,2761	0,2665	0,4402
837,55	0,3205	817,64	0,2990	0,2891	0,2799	0,2863	0,2566	0,2506	0,2759	0,2661	0,4403
839,77	0,3203	819,85	0,2981	0,2885	0,2791	0,2856	0,2559	0,2501	0,2760	0,2656	0,4404
841,98	0,3201	822,06	0,2970	0,2882	0,2784	0,2850	0,2551	0,2496	0,2756	0,2651	0,4405

MMS-2 – Hyperspectral cameras

844,19	0,3199	824,28	0,2963	0,2879	0,2780	0,2847	0,2546	0,2490	0,2750	0,2645	0,4401
846,41	0,3197	826,49	0,2958	0,2874	0,2780	0,2843	0,2544	0,2482	0,2749	0,2641	0,4398
848,62	0,3195	828,70	0,2958	0,2873	0,2778	0,2841	0,2543	0,2482	0,2752	0,2640	0,4400
850,83	0,3194	830,91	0,2960	0,2872	0,2773	0,2840	0,2541	0,2487	0,2751	0,2641	0,4403
853,05	0,3192	833,13	0,2955	0,2869	0,2765	0,2841	0,2534	0,2484	0,2748	0,2638	0,4400
855,26	0,3189	835,34	0,2946	0,2867	0,2761	0,2836	0,2525	0,2475	0,2748	0,2633	0,4396
857,47	0,3186	837,55	0,2947	0,2862	0,2761	0,2829	0,2526	0,2468	0,2751	0,2629	0,4396
859,69	0,3181	839,77	0,2942	0,2853	0,2757	0,2828	0,2527	0,2465	0,2748	0,2626	0,4395
861,90	0,3178	841,98	0,2933	0,2850	0,2757	0,2827	0,2526	0,2466	0,2743	0,2627	0,4394
864,11	0,3182	844,19	0,2935	0,2855	0,2757	0,2820	0,2528	0,2464	0,2748	0,2625	0,4399
866,33	0,3186	846,41	0,2938	0,2859	0,2754	0,2815	0,2526	0,2458	0,2750	0,2620	0,4405
868,54	0,3184	848,62	0,2933	0,2856	0,2754	0,2813	0,2520	0,2452	0,2745	0,2617	0,4404
870,75	0,3184	850,83	0,2929	0,2853	0,2758	0,2812	0,2520	0,2451	0,2747	0,2617	0,4400
872,96	0,3188	853,05	0,2929	0,2851	0,2757	0,2813	0,2520	0,2452	0,2750	0,2616	0,4402
875,18	0,3193	855,26	0,2931	0,2849	0,2750	0,2813	0,2518	0,2450	0,2749	0,2614	0,4407
877,39	0,3196	857,47	0,2933	0,2847	0,2747	0,2811	0,2519	0,2448	0,2746	0,2615	0,4407
879,60	0,3199	859,69	0,2929	0,2843	0,2747	0,2809	0,2510	0,2445	0,2745	0,2614	0,4406
881,82	0,3205	861,90	0,2929	0,2840	0,2744	0,2808	0,2501	0,2446	0,2746	0,2612	0,4408
884,03	0,3213	864,11	0,2931	0,2839	0,2745	0,2807	0,2503	0,2446	0,2747	0,2615	0,4413
886,24	0,3219	866,33	0,2932	0,2838	0,2748	0,2810	0,2507	0,2442	0,2749	0,2616	0,4419
888,46	0,3226	868,54	0,2938	0,2839	0,2749	0,2812	0,2515	0,2449	0,2753	0,2617	0,4424
890,67	0,3234	870,75	0,2948	0,2845	0,2748	0,2815	0,2522	0,2456	0,2757	0,2619	0,4429
892,88	0,3240	872,96	0,2952	0,2852	0,2746	0,2820	0,2522	0,2457	0,2761	0,2620	0,4428
895,10	0,3244	875,18	0,2949	0,2855	0,2751	0,2822	0,2523	0,2461	0,2763	0,2623	0,4429
897,31	0,3252	877,39	0,2944	0,2857	0,2756	0,2826	0,2525	0,2466	0,2758	0,2624	0,4437
899,52	0,3264	879,60	0,2946	0,2863	0,2755	0,2833	0,2529	0,2470	0,2756	0,2629	0,4447
901,74	0,3276	881,82	0,2957	0,2865	0,2761	0,2834	0,2538	0,2470	0,2767	0,2631	0,4443
903,95	0,3288	884,03	0,2968	0,2864	0,2773	0,2833	0,2548	0,2470	0,2775	0,2627	0,4438

MMS-2 – Hyperspectral cameras

906,16	0,3298	886,24	0,2974	0,2874	0,2785	0,2845	0,2556	0,2480	0,2780	0,2637	0,4452
908,38	0,3308	888,46	0,2981	0,2888	0,2797	0,2860	0,2561	0,2495	0,2790	0,2652	0,4467
910,59	0,3319	890,67	0,2987	0,2894	0,2804	0,2866	0,2565	0,2499	0,2800	0,2659	0,4474
912,80	0,3331	892,88	0,2998	0,2895	0,2808	0,2869	0,2569	0,2501	0,2811	0,2660	0,4477
915,02	0,3344	895,10	0,3012	0,2907	0,2816	0,2874	0,2574	0,2508	0,2818	0,2662	0,4480
917,23	0,3357	897,31	0,3020	0,2922	0,2818	0,2883	0,2586	0,2521	0,2823	0,2671	0,4490
919,44	0,3374	899,52	0,3027	0,2924	0,2825	0,2890	0,2599	0,2530	0,2830	0,2678	0,4499
921,65	0,3392	901,74	0,3032	0,2927	0,2837	0,2902	0,2605	0,2535	0,2837	0,2685	0,4505
923,87	0,3410	903,95	0,3038	0,2940	0,2845	0,2919	0,2612	0,2545	0,2847	0,2697	0,4517
926,08	0,3429	906,16	0,3046	0,2954	0,2857	0,2931	0,2624	0,2559	0,2857	0,2709	0,4526
928,29	0,3448	908,38	0,3059	0,2962	0,2874	0,2939	0,2634	0,2570	0,2866	0,2717	0,4534
930,51	0,3466	910,59	0,3073	0,2970	0,2890	0,2950	0,2644	0,2580	0,2874	0,2725	0,4554
932,72	0,3485	912,80	0,3083	0,2981	0,2903	0,2963	0,2657	0,2589	0,2880	0,2735	0,4569
934,93	0,3505	915,02	0,3090	0,2996	0,2916	0,2972	0,2670	0,2602	0,2894	0,2750	0,4573
937,15	0,3521	917,23	0,3104	0,3009	0,2928	0,2987	0,2684	0,2619	0,2915	0,2764	0,4581
939,36	0,3538	919,44	0,3123	0,3019	0,2945	0,3009	0,2700	0,2635	0,2934	0,2776	0,4594
941,57	0,3560	921,65	0,3136	0,3034	0,2964	0,3023	0,2715	0,2653	0,2942	0,2787	0,4606
943,79	0,3582	923,87	0,3150	0,3055	0,2977	0,3036	0,2730	0,2669	0,2945	0,2800	0,4622
946,00	0,3602	926,08	0,3167	0,3076	0,2984	0,3055	0,2747	0,2684	0,2954	0,2815	0,4639
948,21	0,3620	928,29	0,3185	0,3088	0,2992	0,3068	0,2763	0,2703	0,2968	0,2830	0,4653
950,43	0,3637	930,51	0,3204	0,3100	0,3011	0,3079	0,2775	0,2719	0,2987	0,2843	0,4664
952,64	0,3660	932,72	0,3220	0,3119	0,3033	0,3100	0,2787	0,2732	0,3003	0,2858	0,4677
954,85	0,3681	934,93	0,3230	0,3138	0,3047	0,3124	0,2803	0,2750	0,3013	0,2877	0,4692
957,07	0,3702	937,15	0,3235	0,3155	0,3056	0,3138	0,2816	0,2770	0,3018	0,2889	0,4702
959,28	0,3725	939,36	0,3250	0,3177	0,3073	0,3150	0,2829	0,2784	0,3025	0,2896	0,4710
961,49	0,3747	941,57	0,3276	0,3190	0,3095	0,3169	0,2853	0,2795	0,3041	0,2909	0,4723
963,71	0,3768	943,79	0,3303	0,3194	0,3115	0,3187	0,2878	0,2810	0,3060	0,2927	0,4735
965,92	0,3791	946,00	0,3318	0,3206	0,3135	0,3198	0,2894	0,2831	0,3074	0,2940	0,4736

MMS-2 – Hyperspectral cameras

968,13	0,3814	948,21	0,3327	0,3224	0,3156	0,3213	0,2910	0,2852	0,3087	0,2950	0,4735
970,34	0,3837	950,43	0,3344	0,3239	0,3172	0,3230	0,2931	0,2872	0,3093	0,2959	0,4741
972,56	0,3861	952,64	0,3368	0,3262	0,3187	0,3247	0,2950	0,2889	0,3102	0,2976	0,4754
974,77	0,3884	954,85	0,3385	0,3281	0,3205	0,3269	0,2964	0,2902	0,3123	0,2996	0,4766
976,98	0,3907	957,07	0,3397	0,3289	0,3214	0,3290	0,2980	0,2918	0,3142	0,3005	0,4770
979,20	0,3928	959,28	0,3415	0,3307	0,3226	0,3308	0,3001	0,2938	0,3152	0,3011	0,4776
981,41	0,3947	961,49	0,3439	0,3334	0,3252	0,3323	0,3023	0,2960	0,3167	0,3032	0,4794
983,62	0,3967	963,71	0,3457	0,3353	0,3278	0,3330	0,3040	0,2975	0,3185	0,3055	0,4809
985,84	0,3991	965,92	0,3471	0,3371	0,3294	0,3347	0,3055	0,2990	0,3198	0,3067	0,4819
988,05	0,4017	968,13	0,3487	0,3388	0,3300	0,3374	0,3077	0,3016	0,3210	0,3078	0,4832
990,26	0,4039	970,34	0,3502	0,3399	0,3312	0,3393	0,3103	0,3038	0,3222	0,3089	0,4844
992,48	0,4054	979,91	0,3581	0,3482	0,3388	0,3478	0,3128	0,3189	0,3285	0,3166	0,4911
994,69	0,4069	989,49	0,3658	0,3554	0,3460	0,3546	0,3205	0,3267	0,3337	0,3226	0,4953
996,90	0,4089	999,07	0,3748	0,3642	0,3544	0,3632	0,3298	0,3356	0,3404	0,3305	0,5008
999,12	0,4109	1008,65	0,3793	0,3689	0,3582	0,3679	0,3349	0,3401	0,3429	0,3345	0,5037
1008,65	0,4182	1018,23	0,3890	0,3785	0,3669	0,3767	0,3439	0,3497	0,3500	0,3424	0,5096
1018,23	0,4266	1027,81	0,3970	0,3868	0,3740	0,3840	0,3519	0,3576	0,3557	0,3491	0,5148
1027,81	0,4339	1037,40	0,4058	0,3954	0,3823	0,3923	0,3603	0,3661	0,3624	0,3572	0,5206
1037,40	0,4417	1046,98	0,4129	0,4027	0,3888	0,3990	0,3672	0,3728	0,3674	0,3634	0,5246
1046,98	0,4476	1056,56	0,4204	0,4103	0,3957	0,4058	0,3744	0,3803	0,3734	0,3700	0,5285
1056,56	0,4533	1066,14	0,4266	0,4154	0,4013	0,4101	0,3795	0,3862	0,3777	0,3743	0,5307
1066,14	0,4578	1075,72	0,4326	0,4221	0,4068	0,4164	0,3862	0,3916	0,3818	0,3805	0,5348
1075,72	0,4628	1085,30	0,4386	0,4276	0,4120	0,4211	0,3911	0,3970	0,3858	0,3846	0,5380
1085,30	0,4673	1094,89	0,4446	0,4344	0,4170	0,4272	0,3972	0,4025	0,3902	0,3903	0,5420
1094,89	0,4735	1104,47	0,4502	0,4399	0,4221	0,4324	0,4024	0,4076	0,3942	0,3952	0,5453
1104,47	0,4788	1114,05	0,4566	0,4456	0,4276	0,4377	0,4080	0,4134	0,3990	0,4003	0,5482
1114,05	0,4839	1123,63	0,4613	0,4502	0,4315	0,4415	0,4119	0,4172	0,4020	0,4041	0,5502
1123,63	0,4879	1133,21	0,4660	0,4543	0,4358	0,4452	0,4156	0,4217	0,4053	0,4079	0,5523

MMS-2 – Hyperspectral cameras

1133,21	0,4916	1142,79	0,4702	0,4585	0,4386	0,4490	0,4192	0,4245	0,4075	0,4113	0,5542
1142,79	0,4937	1152,38	0,4738	0,4624	0,4416	0,4527	0,4222	0,4274	0,4100	0,4143	0,5558
1152,38	0,4964	1161,96	0,4766	0,4648	0,4440	0,4543	0,4243	0,4296	0,4120	0,4161	0,5574
1161,96	0,4984	1171,54	0,4804	0,4686	0,4472	0,4579	0,4276	0,4327	0,4151	0,4196	0,5601
1171,54	0,5014	1181,12	0,4834	0,4704	0,4502	0,4591	0,4291	0,4355	0,4178	0,4216	0,5611
1181,12	0,5045	1190,70	0,4866	0,4743	0,4527	0,4625	0,4324	0,4384	0,4206	0,4254	0,5636
1190,70	0,5079	1200,28	0,4897	0,4777	0,4550	0,4660	0,4355	0,4408	0,4229	0,4286	0,5661
1200,28	0,5102	1209,87	0,4929	0,4808	0,4580	0,4686	0,4382	0,4434	0,4258	0,4315	0,5683
1209,87	0,5125	1219,45	0,4950	0,4828	0,4599	0,4701	0,4394	0,4453	0,4280	0,4333	0,5692
1219,45	0,5144	1229,03	0,4968	0,4861	0,4614	0,4733	0,4421	0,4465	0,4295	0,4362	0,5716
1229,03	0,5169	1238,61	0,4986	0,4870	0,4627	0,4738	0,4422	0,4479	0,4313	0,4368	0,5721
1238,61	0,5174	1248,19	0,5006	0,4890	0,4645	0,4755	0,4439	0,4496	0,4330	0,4390	0,5741
1248,19	0,5186	1257,77	0,5019	0,4890	0,4660	0,4753	0,4436	0,4506	0,4346	0,4389	0,5738
1257,77	0,5189	1267,35	0,5035	0,4913	0,4670	0,4774	0,4456	0,4514	0,4362	0,4411	0,5756
1267,35	0,5204	1276,94	0,5038	0,4919	0,4670	0,4776	0,4459	0,4511	0,4368	0,4419	0,5762
1276,94	0,5211	1286,52	0,5060	0,4931	0,4691	0,4784	0,4471	0,4528	0,4392	0,4432	0,5771
1286,52	0,5230	1296,10	0,5072	0,4940	0,4699	0,4792	0,4477	0,4534	0,4400	0,4440	0,5774
1296,10	0,5235	1305,68	0,5078	0,4954	0,4702	0,4805	0,4487	0,4535	0,4407	0,4455	0,5790
1305,68	0,5239	1315,26	0,5091	0,4961	0,4709	0,4808	0,4488	0,4546	0,4419	0,4458	0,5800
1315,26	0,5239	1324,84	0,5102	0,4969	0,4719	0,4813	0,4491	0,4550	0,4427	0,4465	0,5810
1324,84	0,5243	1334,43	0,5104	0,4970	0,4722	0,4812	0,4487	0,4551	0,4451	0,4461	0,5802
1334,43	0,5231	1344,01	0,5088	0,4960	0,4703	0,4805	0,4474	0,4534	0,4423	0,4452	0,5793
1344,01	0,5206	1353,59	0,5064	0,4939	0,4682	0,4782	0,4451	0,4509	0,4397	0,4426	0,5751
1353,59	0,5159	1363,17	0,5064	0,4944	0,4681	0,4780	0,4449	0,4504	0,4394	0,4423	0,5697
1363,17	0,5167	1372,75	0,5063	0,4941	0,4677	0,4776	0,4435	0,4492	0,4381	0,4412	0,5649
1372,75	0,5150	1382,33	0,5052	0,4920	0,4652	0,4747	0,4387	0,4454	0,4322	0,4351	0,5556
1382,33	0,5115	1391,92	0,5030	0,4895	0,4613	0,4709	0,4322	0,4392	0,4244	0,4270	0,5370
1391,92	0,5075	1401,50	0,5006	0,4876	0,4577	0,4676	0,4265	0,4335	0,4166	0,4193	0,5395

MMS-2 – Hyperspectral cameras

1401,50	0,5034	1411,08	0,4983	0,4849	0,4542	0,4636	0,4219	0,4284	0,4099	0,4132	0,5504
1411,08	0,5000	1420,66	0,4964	0,4843	0,4521	0,4619	0,4216	0,4267	0,4109	0,4138	0,5558
1420,66	0,5001	1430,24	0,4965	0,4835	0,4525	0,4621	0,4236	0,4291	0,4159	0,4174	0,5598
1430,24	0,5011	1439,82	0,4941	0,4815	0,4509	0,4605	0,4249	0,4304	0,4191	0,4202	0,5621
1439,82	0,5009	1449,41	0,4944	0,4827	0,4518	0,4621	0,4270	0,4323	0,4222	0,4230	0,5641
1449,41	0,5025	1458,99	0,4982	0,4848	0,4554	0,4643	0,4285	0,4348	0,4251	0,4246	0,5651
1458,99	0,5046	1468,57	0,4994	0,4863	0,4572	0,4659	0,4301	0,4363	0,4264	0,4264	0,5667
1468,57	0,5054	1478,15	0,5005	0,4878	0,4585	0,4678	0,4324	0,4384	0,4296	0,4297	0,5697
1478,15	0,5071	1487,73	0,4999	0,4879	0,4589	0,4686	0,4335	0,4395	0,4317	0,4319	0,5715
1487,73	0,5078	1497,31	0,5023	0,4903	0,4610	0,4709	0,4360	0,4417	0,4346	0,4344	0,5736
1497,31	0,5096	1506,90	0,5034	0,4921	0,4621	0,4730	0,4378	0,4427	0,4361	0,4360	0,5757
1506,90	0,5104	1516,48	0,5058	0,4937	0,4649	0,4745	0,4395	0,4454	0,4397	0,4384	0,5782
1516,48	0,5118	1526,06	0,5067	0,4937	0,4649	0,4743	0,4395	0,4461	0,4410	0,4389	0,5790
1526,06	0,5119	1535,64	0,5068	0,4945	0,4652	0,4754	0,4408	0,4468	0,4424	0,4403	0,5804
1535,64	0,5121	1545,22	0,5074	0,4951	0,4661	0,4764	0,4414	0,4473	0,4437	0,4414	0,5817
1545,22	0,5124	1554,80	0,5096	0,4976	0,4685	0,4788	0,4433	0,4493	0,4458	0,4436	0,5839
1554,80	0,5140	1564,39	0,5109	0,4969	0,4693	0,4785	0,4429	0,4498	0,4467	0,4430	0,5838
1564,39	0,5136	1573,97	0,5120	0,4983	0,4701	0,4794	0,4438	0,4504	0,4478	0,4439	0,5851
1573,97	0,5143	1583,55	0,5122	0,4990	0,4704	0,4802	0,4441	0,4506	0,4483	0,4445	0,5858
1583,55	0,5140	1593,13	0,5135	0,5000	0,4716	0,4808	0,4448	0,4514	0,4493	0,4452	0,5869
1593,13	0,5148	1602,71	0,5134	0,5007	0,4720	0,4807	0,4447	0,4512	0,4494	0,4451	0,5874
1602,71	0,5150	1612,29	0,5146	0,5014	0,4729	0,4821	0,4453	0,4518	0,4504	0,4461	0,5883
1612,29	0,5159	1621,88	0,5144	0,5016	0,4730	0,4825	0,4459	0,4521	0,4507	0,4467	0,5888
1621,88	0,5161	1631,46	0,5152	0,5027	0,4735	0,4832	0,4462	0,4526	0,4517	0,4471	0,5892
1631,46	0,5161	1641,04	0,5159	0,5028	0,4742	0,4829	0,4461	0,4537	0,4525	0,4471	0,5894
1641,04	0,5161	1650,62	0,5164	0,5030	0,4750	0,4836	0,4466	0,4548	0,4535	0,4474	0,5901
1650,62	0,5164	1660,20	0,5151	0,5045	0,4737	0,4853	0,4476	0,4535	0,4523	0,4479	0,5908
1660,20	0,5164	1669,78	0,5161	0,5049	0,4744	0,4860	0,4480	0,4537	0,4525	0,4484	0,5914

MMS-2 – Hyperspectral cameras

1669,78	0,5169	1679,37	0,5167	0,5054	0,4746	0,4862	0,4480	0,4531	0,4529	0,4486	0,5916
1679,37	0,5168	1688,95	0,5181	0,5055	0,4753	0,4861	0,4481	0,4540	0,4541	0,4484	0,5917
1688,95	0,5177	1698,53	0,5182	0,5049	0,4752	0,4851	0,4474	0,4541	0,4547	0,4478	0,5916
1698,53	0,5166	1708,11	0,5193	0,5053	0,4758	0,4862	0,4483	0,4550	0,4554	0,4489	0,5925
1708,11	0,5167	1717,69	0,5187	0,5042	0,4749	0,4845	0,4472	0,4546	0,4548	0,4477	0,5913
1717,69	0,5156	1727,27	0,5178	0,5035	0,4751	0,4831	0,4467	0,4547	0,4557	0,4475	0,5908
1727,27	0,5159	1736,86	0,5157	0,5023	0,4724	0,4819	0,4456	0,4526	0,4538	0,4463	0,5895
1736,86	0,5139	1746,44	0,5148	0,5027	0,4709	0,4821	0,4457	0,4518	0,4522	0,4465	0,5896
1746,44	0,5131	1756,02	0,5140	0,5018	0,4708	0,4803	0,4443	0,4507	0,4511	0,4451	0,5879
1756,02	0,5125	1765,60	0,5156	0,5017	0,4715	0,4799	0,4438	0,4507	0,4514	0,4442	0,5864
1765,60	0,5129	1775,18	0,5164	0,5019	0,4720	0,4803	0,4438	0,4509	0,4514	0,4439	0,5862
1775,18	0,5126	1784,76	0,5180	0,5028	0,4732	0,4810	0,4442	0,4513	0,4515	0,4435	0,5859
1784,76	0,5130	1794,34	0,5184	0,5036	0,4735	0,4821	0,4442	0,4514	0,4511	0,4435	0,5861
1794,34	0,5127	1803,93	0,5195	0,5054	0,4745	0,4842	0,4455	0,4523	0,4517	0,4445	0,5875
1803,93	0,5135	1813,51	0,5192	0,5055	0,4742	0,4839	0,4450	0,4517	0,4508	0,4440	0,5867
1813,51	0,5124	1823,09	0,5198	0,5066	0,4747	0,4842	0,4453	0,4519	0,4508	0,4438	0,5860
1823,09	0,5127	1832,67	0,5215	0,5050	0,4759	0,4827	0,4439	0,4525	0,4513	0,4422	0,5838
1832,67	0,5118	1842,25	0,5231	0,5072	0,4770	0,4844	0,4453	0,4533	0,4519	0,4434	0,5847
1842,25	0,5139	1851,83	0,5212	0,5066	0,4754	0,4837	0,4435	0,4520	0,4497	0,4416	0,5829
1851,83	0,5125	1861,42	0,5171	0,5034	0,4711	0,4804	0,4391	0,4473	0,4438	0,4359	0,5772
1861,42	0,5075	1871,00	0,5127	0,4992	0,4648	0,4744	0,4313	0,4394	0,4338	0,4263	0,5684
1871,00	0,5039	1880,58	0,5042	0,4906	0,4536	0,4627	0,4159	0,4242	0,4153	0,4079	0,5523
1880,58	0,4900	1890,16	0,4881	0,4735	0,4330	0,4405	0,3884	0,3971	0,3847	0,3768	0,5286
1890,16	0,4664	1899,74	0,4672	0,4536	0,4075	0,4150	0,3576	0,3654	0,3517	0,3440	0,5021
1899,74	0,4422	1909,32	0,4533	0,4398	0,3928	0,3995	0,3445	0,3521	0,3385	0,3315	0,4877
1909,32	0,4321	1918,91	0,4423	0,4300	0,3856	0,3933	0,3473	0,3535	0,3411	0,3360	0,4857
1918,91	0,4310	1928,49	0,4268	0,4145	0,3760	0,3827	0,3493	0,3551	0,3460	0,3414	0,4844
1928,49	0,4276	1938,07	0,4153	0,4040	0,3681	0,3758	0,3512	0,3562	0,3496	0,3459	0,4852

MMS-2 – Hyperspectral cameras

1938,07	0,4257	1947,65	0,4193	0,4096	0,3731	0,3812	0,3572	0,3616	0,3547	0,3516	0,4887
1947,65	0,4324	1957,23	0,4399	0,4287	0,3912	0,3986	0,3684	0,3741	0,3644	0,3610	0,4955
1957,23	0,4458	1966,81	0,4500	0,4400	0,4010	0,4098	0,3768	0,3818	0,3706	0,3682	0,5012
1966,81	0,4532	1976,40	0,4596	0,4487	0,4097	0,4181	0,3845	0,3905	0,3788	0,3759	0,5078
1976,40	0,4607	1985,98	0,4720	0,4596	0,4211	0,4287	0,3929	0,3998	0,3874	0,3838	0,5143
1985,98	0,4697	1995,56	0,4887	0,4746	0,4376	0,4436	0,4028	0,4111	0,3969	0,3922	0,5205
1995,56	0,4821	2005,14	0,5025	0,4895	0,4503	0,4582	0,4138	0,4198	0,4046	0,4017	0,5290
2005,14	0,4915	2014,72	0,5122	0,4982	0,4590	0,4671	0,4208	0,4279	0,4127	0,4088	0,5349
2014,72	0,4984	2024,30	0,5167	0,5034	0,4639	0,4731	0,4262	0,4334	0,4187	0,4148	0,5402
2024,30	0,5031	2033,89	0,5219	0,5084	0,4697	0,4797	0,4323	0,4388	0,4249	0,4212	0,5463
2033,89	0,5086	2043,47	0,5260	0,5133	0,4742	0,4841	0,4368	0,4429	0,4293	0,4260	0,5514
2043,47	0,5119	2053,05	0,5298	0,5154	0,4782	0,4859	0,4391	0,4471	0,4342	0,4291	0,5542
2053,05	0,5142	2062,63	0,5313	0,5171	0,4800	0,4886	0,4423	0,4499	0,4376	0,4319	0,5572
2062,63	0,5155	2072,21	0,5334	0,5194	0,4818	0,4909	0,4447	0,4515	0,4396	0,4342	0,5601
2072,21	0,5172	2081,79	0,5373	0,5217	0,4859	0,4929	0,4475	0,4557	0,4436	0,4380	0,5630
2081,79	0,5197	2091,38	0,5382	0,5242	0,4878	0,4942	0,4494	0,4576	0,4463	0,4407	0,5660
2091,38	0,5224	2100,96	0,5390	0,5267	0,4892	0,4959	0,4516	0,4599	0,4479	0,4433	0,5687
2100,96	0,5230	2110,54	0,5409	0,5277	0,4909	0,4975	0,4539	0,4624	0,4506	0,4461	0,5711
2110,54	0,5254	2120,12	0,5429	0,5288	0,4925	0,4991	0,4562	0,4651	0,4538	0,4487	0,5741
2120,12	0,5267	2129,70	0,5448	0,5294	0,4934	0,5006	0,4580	0,4669	0,4560	0,4508	0,5765
2129,70	0,5288	2139,28	0,5440	0,5287	0,4914	0,4982	0,4573	0,4667	0,4544	0,4502	0,5749
2139,28	0,5286	2148,87	0,5417	0,5270	0,4897	0,4972	0,4568	0,4658	0,4503	0,4491	0,5737
2148,87	0,5276	2158,45	0,5382	0,5235	0,4865	0,4940	0,4544	0,4631	0,4453	0,4454	0,5680
2158,45	0,5237	2168,03	0,5337	0,5199	0,4822	0,4903	0,4509	0,4592	0,4403	0,4411	0,5610
2168,03	0,5211	2177,61	0,5295	0,5154	0,4781	0,4854	0,4459	0,4554	0,4347	0,4360	0,5525
2177,61	0,5182	2187,19	0,5260	0,5120	0,4745	0,4818	0,4416	0,4513	0,4291	0,4311	0,5433
2187,19	0,5152	2196,77	0,5225	0,5091	0,4711	0,4787	0,4388	0,4470	0,4217	0,4261	0,5353
2196,77	0,5110	2206,36	0,5199	0,5043	0,4683	0,4743	0,4342	0,4436	0,4171	0,4202	0,5284

MMS-2 – Hyperspectral cameras

2206,36	0,5078	2215,94	0,5187	0,5025	0,4663	0,4724	0,4317	0,4421	0,4216	0,4199	0,5290
2215,94	0,5071	2225,52	0,5222	0,5055	0,4690	0,4743	0,4324	0,4436	0,4253	0,4210	0,5300
2225,52	0,5078	2235,10	0,5244	0,5087	0,4719	0,4772	0,4337	0,4436	0,4267	0,4225	0,5300
2235,10	0,5085	2244,68	0,5257	0,5093	0,4731	0,4779	0,4340	0,4445	0,4288	0,4225	0,5286
2244,68	0,5099	2254,26	0,5240	0,5090	0,4714	0,4776	0,4339	0,4430	0,4278	0,4223	0,5272
2254,26	0,5100	2263,85	0,5256	0,5104	0,4726	0,4788	0,4350	0,4443	0,4283	0,4238	0,5263
2263,85	0,5112	2273,43	0,5269	0,5110	0,4731	0,4792	0,4336	0,4434	0,4265	0,4224	0,5238
2273,43	0,5118	2283,01	0,5285	0,5141	0,4722	0,4798	0,4314	0,4392	0,4217	0,4187	0,5213
2283,01	0,5102	2292,59	0,5289	0,5141	0,4718	0,4783	0,4280	0,4365	0,4190	0,4141	0,5152
2292,59	0,5090	2302,17	0,5301	0,5156	0,4731	0,4797	0,4270	0,4359	0,4187	0,4123	0,5091
2302,17	0,5078	2311,75	0,5304	0,5165	0,4731	0,4795	0,4264	0,4346	0,4176	0,4110	0,5033
2311,75	0,5084	2321,34	0,5329	0,5183	0,4755	0,4831	0,4308	0,4388	0,4188	0,4141	0,5017
2321,34	0,5121	2330,92	0,5348	0,5205	0,4779	0,4854	0,4333	0,4423	0,4196	0,4164	0,5056
2330,92	0,5144	2340,50	0,5358	0,5216	0,4786	0,4855	0,4336	0,4425	0,4182	0,4155	0,5115
2340,50	0,5164	2350,08	0,5349	0,5183	0,4767	0,4810	0,4296	0,4399	0,4149	0,4112	0,5122
2350,08	0,5150	2359,66	0,5317	0,5162	0,4732	0,4792	0,4282	0,4354	0,4105	0,4083	0,5123
2359,66	0,5111	2369,24	0,5277	0,5128	0,4679	0,4750	0,4242	0,4304	0,4057	0,4043	0,5102
2369,24	0,5080	2378,82	0,5232	0,5098	0,4626	0,4707	0,4209	0,4266	0,4014	0,4007	0,5084
2378,82	0,5045	2388,41	0,5187	0,5021	0,4587	0,4642	0,4166	0,4256	0,4007	0,3977	0,5028
2388,41	0,5017	2397,99	0,5100	0,4937	0,4522	0,4567	0,4127	0,4218	0,3973	0,3945	0,4950
2397,99	0,4980	2407,57	0,5006	0,4867	0,4440	0,4493	0,4080	0,4165	0,3922	0,3908	0,4825
2407,57	0,4928	2417,15	0,4941	0,4800	0,4379	0,4425	0,4029	0,4105	0,3881	0,3869	0,4622
2417,15	0,4877	2426,73	0,4893	0,4768	0,4333	0,4396	0,3990	0,4055	0,3822	0,3821	0,4462
2426,73	0,4829	2436,31	0,4867	0,4720	0,4295	0,4345	0,3943	0,4022	0,3778	0,3756	0,4330
2436,31	0,4805	2445,90	0,4841	0,4690	0,4264	0,4309	0,3896	0,3975	0,3737	0,3708	0,4206
2445,90	0,4786	2455,48	0,4786	0,4656	0,4220	0,4258	0,3833	0,3914	0,3689	0,3651	0,4090
2455,48	0,4758	2465,06	0,4733	0,4603	0,4156	0,4193	0,3783	0,3860	0,3633	0,3596	0,3964
2465,06	0,4704	2474,64	0,4689	0,4560	0,4118	0,4153	0,3743	0,3821	0,3596	0,3563	0,3853

MMS-2 – Hyperspectral cameras

2474,64	0,4677	2484,22	0,4683	0,4547	0,4118	0,4144	0,3717	0,3799	0,3575	0,3532	0,3876
2484,22	0,4677	2493,80	0,4713	0,4580	0,4142	0,4161	0,3714	0,3809	0,3577	0,3518	0,3983
2493,80	0,4701	2503,39	0,4742	0,4612	0,4157	0,4189	0,3714	0,3802	0,3565	0,3515	0,4109
2503,39	0,4719										